

УДК 551.24:432.2 (477-924.52)

Т. Андрієць, асп.  
 Київський національний університет імені Тараса Шевченка  
 ННІ "Інститут геології"  
 вул. Васильківська, 90, м. Київ, 03022, Україна  
 E-mail: tanya4la@gmail.com

## РЕКОНСТРУКЦІЯ ТЕКТОНІЧНОЇ ЕВОЛЮЦІЇ ВУЛКАНА СИНЯК (ВИГОРЛАТ-ГУТИНСЬКЕ ВУЛКАНИЧНЕ ПАСМО) В ПОСТМАГМАТИЧНІ ЕТАПИ ЗА ДАНИМИ СТРУКТУРНО-МОРФОМЕТРИЧНОГО АНАЛІЗУ

(Рекомендовано членом редакційної колегії д-ром геол. наук, доц. О. М. Іванік)

В Українських Карпатах одним з виразних результатів дії ендогенних процесів є Вигорлат-Гутинське вулканічне пасмо, формування якого завершилося в кінці пліоцену як наслідок активної магматичної діяльності. Серед вулканічних структур у північно-західній частині пасма виділяється стратовулкан Синяк, який характеризується доброю збереженістю первинних вулканічних форм, наявністю різновікових магматичних комплексів і добре виражений у рельєфі. Однак до сьогодні залишаються не до кінця з'ясованими питання наявності кальдер у структурі вулкана, визначення характеру просторового і часового розподілу амплітуд неотектонічних рухів у поствеулканічні етапи, з'ясування рівня тектонічної активності. Зазначені питання є одними з найбільш складних, успішне їхнє вирішення можливе за рахунок аналізу комплексу геологічних, геофізичних і геоморфологічних даних. Метою досліджень є відтворення постмагматичних тектонічних процесів на основі аналізу розвитку рельєфу. Для досягнення цієї мети реалізовано методику структурної морфометрії В. Філософова з визначенням головних морфометричних показників рельєфу території. У результаті комплексного аналізу наявних геолого-геофізичних даних і структурно-морфометричних показників визначено числові характеристики неотектонічних вертикальних рухів і простежено їхні просторові і часові особливості в межах вулкану Синяк протягом чотирьох поствеулканічних етапів. Установлено відмінності в тектонічному розвитку окремих частин вулкану – Грабівського вулканокупольного підняття та вершинної кальдери. Виявлено високу просторову диференціацію амплітуд вертикальних рухів, їхній блоковий характер. Виділено дві локальні структури, що характеризуються високими значеннями амплітуд вертикальних рухів і диференційованим характером між етапами, структуру в центральній частині вершинної кальдери вулкана (г. Буз) та ділянку в межах Грабівського вулканокупольного підняття (між г. Бердо та ур. Червоне).

**Ключові слова:** структурна морфометрія, новітні рухи, ГІС, рельєф, морфогенез.

**Постановка проблеми.** Вивчення геологічної будови, геофізики, тектоніки, петрографії, геоморфології Вигорлат-Гутинського вулканічного пасма присвячували свої роботи М. Короновський, Є. Малєєв, В. Соболєв, В. Радзивіл, Б. Мерліч, С. Спітковська, З. Ляшкевич, Я. Кравчук та багато інших. Результати різнобічних досліджень викладено в працях [1–9]. Незважаючи на значний обсяг накопичених даних, важливими питаннями, що до сьогодні залишаються невирішеними, є відтворення постмагматичної історії окремих вулканічних структур, визначення характеру просторово-часового розподілу амплітуд неотектонічних рухів, з'ясування рівня їхньої тектонічної активності. Залишається не до кінця з'ясованим також питання наявності кальдер у структурі давніх вулканів.

Оскільки структури Вигорлат-Гутинського вулканічного пасма добре виражені в сучасному рельєфі, є можливим використання геоморфологічних методів для дослідження особливостей їхньої будови та тектонічної еволюції. Одним із таких методів є структурно-морфометричний аналіз, запропонований В. Філософовим [10], який дозволяє виконати ґрунтовний аналіз сучасного рельєфу та на основі створених структурно-морфометричних моделей встановити взаємоз'язок процесів рельєфотворення з тектонічними процесами.

**Метою** досліджень є відтворення постмагматичних тектонічних процесів на основі аналізу розвитку рельєфу вулкану Синяк.

**Геологічна будова.** Вулкан Синяк, що розташовується в північно-західній частині Вигорлат-Гутинського вулканічного пасма, належить до стратовулканів, діаметр його структури сягає 15 км. У центральній частині виділяється центральне інтузивно-тектонічне підняття діаметром 5 км. Кільцеві розломи, що обмежують підняття, падають під кутом 70–80° від центру [3]. У структурі складної кальдери вогнища вулкану виділяються вершинна кальдера та Грабівське вулканокупольне підняття (інтузивно-купольна структура), яке в плані має форму еліпса розміром 5,5–4 км. Центральна її частина (до 3 км у діаметрі), що обмежується кільцевою зоною розломів, являє собою мульду, яка діагностуєть-

ся за омолодженням порід від периферії до центру. У центральній частині наявна велика інтузія, що складається з двох тіл краплеподібної форми, розділених розломом північно-східного простягання і клином осадових порід [7]. Ізогіпси донеогенової основи вулкана коливаються від –400 до –1200 м. Наявні матеківський, синяцький та обавський магматичні комплекси [3]. Матеківський комплекс ( $N_{2mt}$ ) – товща невитриманих за потужністю андезитових та андезито-базальтових лав, туфобрекчії, туфів потужністю до 350 м. Протягом матеківського часу вулкан Синяк являв собою стратовулкан. Після активної фази магматизму відбулося утворення кальдери. Наступна фаза вулканізму пов'язана з утворенням синяцького магматичного комплексу ( $N_{2sn}$ ), який незгідно перекриває матеківський ( $N_{2mt}$ ). Комплекс складається з декількох товщ ( $N_{2sn1-5}$ ). Нижня ( $N_{2sn1}$ ) представлена товщею ліпарито-дацитових лавобрекчій, туфобрекчії, туфів. Вище залягає товща дацитових, ліпарито-дацитових лав ( $N_{2sn2}$ ). Товща ( $N_{2sn2}$ ) перекривається озерно-алювіальними відкладами (глини, мергелі, піски, туфи) ( $N_{2sn3}$ ). Пізніше вулканічна діяльність означувалася утворенням потужних верхніх товщ ( $N_{2sn4-5}$ ). Товща андезитових туфів, туфобрекчії та лавобрекчії з малопотужними прошарками лав, що виклинується ( $N_{2sn4}$ ), має потужність до 200 м. Товща ( $N_{2sn4}$ ) перекрита потоками андезитових лав з невеликими прошарками туфів і туфобрекчії ( $N_{2sn5}$ ) потужністю 150–200 м [9].

Структурно-морфометричні дослідження та реконструкція тектонічної еволюції. Для території басейну р. Латориця згідно з методикою В. Філософова в середовищі ГІС побудовано низку різновіневих структурно-морфометричних поверхонь. Оскільки в межах вулкана наявні магматичні комплекси гірських порід, які є аномальними з погляду осадової акумуляції, карти залишкового рельєфу та різницеві вершинні поверхні суміжних порядків є малоекективними. З огляду на вищу інформативність карт різниць різницевих вершинно-базисних поверхонь суміжних порядків, карт локального розмиву, базисних, вершинних поверхонь, різницевих базисних суміжних порядків геологічна інтерпретація в основному ґрунтуються

на аналізі цих карт. Слід зазначити, що в гірсько-складчастій області Карпат для вивчення неотектонічних рухів і тектоніки слід ширше використовувати не статичні морфометричні показники, а динамічні, які характеризують результат дії сукупності ендогенних та екзогенних процесів з визначенням імовірного впливу тих чи інших.

За даними структурно-морфометричного аналізу для вулкана Синяк визначено чотири етапи розвитку рельєсу протягом пліоцен-четвертинного часу. Оскільки головним фактором у формуванні рельєсу Карпатського регіону є неотектонічний, виділені етапи еволюції рельєсу корелюються з проявами неотектонічних вертикальних рухів.

Протягом I етапу в розподілі неотектонічних вертикальних рухів у межах різних структурних частин вулкана спостерігалася певна диференціація. Найвищі темпи підняттів були характерні для Грабівського вулканокупольного підняття. Протягом цього етапу амплітуди тут змінювалися в широких межах – від 55 до 355 м (табл. 1) і зростали від периферійних ділянок до центральної, у межах якої сягали 305–355 м. Область характерних амплітуд оконтурюється концептуальним синвулканічним розломом (рис. 1). Очевидно, максимальні амплітуди підняттів на цьому етапі були наслідком направленого вертикально руху інтузії в центральній частині Грабівської структури. Оскільки між інтузивними тілами наявний клин оса-

дових порід, які представлені озерно-алювіальними відкладами ( $N_2sn_3$ ), упровадження інтузивів відбулося вже після формування цих відкладів.

На відміну від Грабівського вулканокупольного підняття, вершинна кальдера вулкана зазнала менш інтенсивних підняттів (рис. 1). Амплітуди вертикальних рухів в її межах змінювалися від 5,6 до 305 м (табл. 1). Підвищені значення амплітуд вертикальних рухів фіксувалися на північних ділянках кальдери (широта г. Дунавка). Максимальні амплітуди тут коливалися в межах 255,1–305 м і приурочені до центрів виверження в центральних частинах вершинної кальдери. Вертикальні рухи за Оленівським розломом мали блоковий характер, що свідчить про характерний розподіл амплітуд по різних крилах розлому. Підвищені значення їх фіксувалися на правому крилі, а значно нижчі – на лівому. За даними геологічного картування [9], ліве крило опущено відносно правого. Імовірно, саме вертикальні рухи в межах цього розлому пришвидшили процес руйнування центральної частини кальдери, що розпочався на цьому етапі та завершився протягом наступних. Утворення кальдерного пониження також фіксується за наявністю тут максимальних сумарних значень локального розмиву гірських порід на карті локального розмиву 5-го порядку. Загалом, протягом I етапу Грабівська структура зазнала підняттів із середньою амплітудою 205 м, а вершинна кальдера вулкана – 155,3 м (табл. 1).

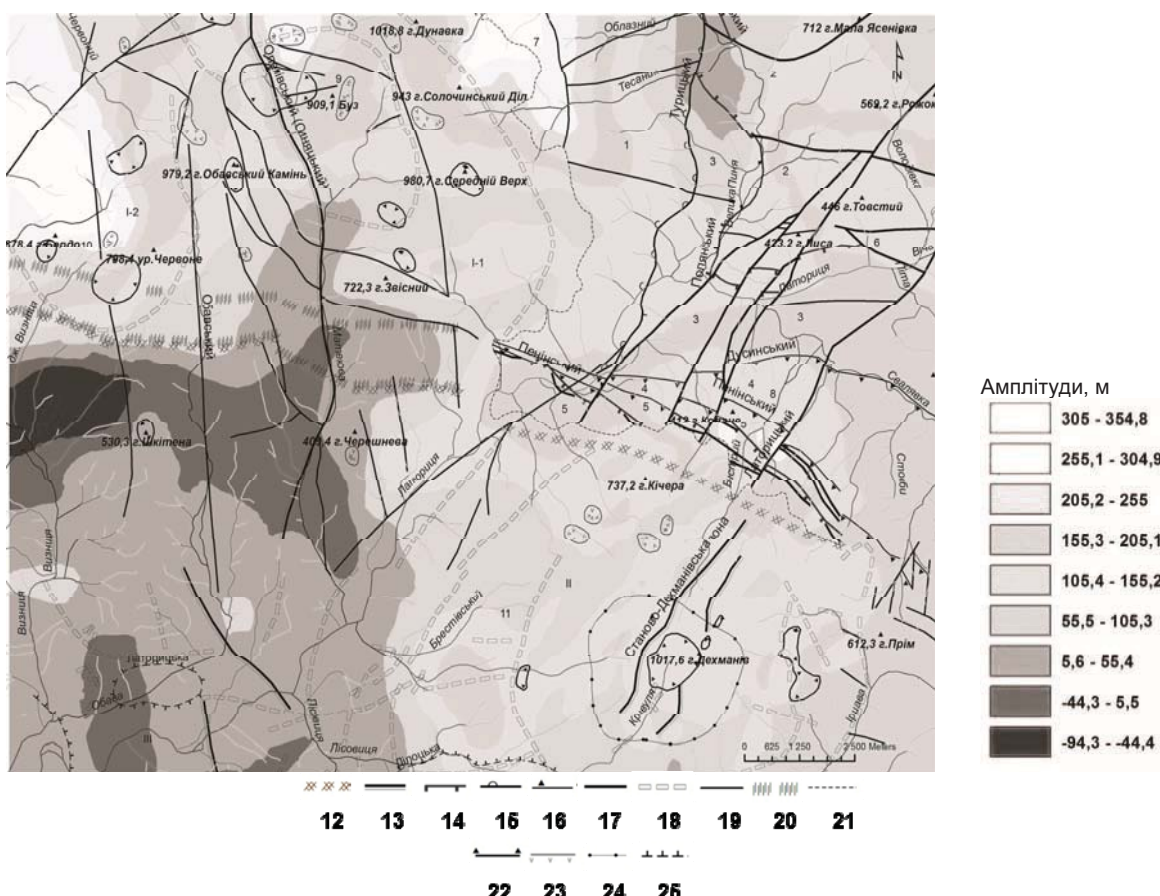


Рис. 1. Розподіл амплітуд новітніх рухів протягом I етапу. Структурно-тектонічна схема. Вулканоструктури:

I – Синяк (I-1 – вершинна кальдера, I-2 – Грабівське вулканокупольне підняття), II – Деманів, III – Кучавська.

Блоки та луски: 1 – Турецька, 2 – Заломська, 3 – Свалявська, 4 – Суковська, 5 – Пасікська. Локальні структури, виявлені за даними структурної морфометрії: 6, 7, 8, 9, 10, 11. Розломи: 12 – бортовий розлом Мукачівської депресії, 13 – довулканічні, 14 – насуви лусок, 15 – насуви підзон, 16 – насуви структурно-фаціальних зон, 17 – розломи круго падаючі, 18 – синвулканічні, 19 – інші; 20 – передбачуване продовження зони Пеннінських скель; 21 – межа магматичних комплексів.

Центри вивержень установлені: 22 – за геолого-геофізичними даними, 23 – за геофізичними даними;

24 – інтузивно-вулканокупольні структури; 25 – екструзивно-купольні структури

Таблиця 1

Етапи	Структура	Амплітуди, м				
		мінімальні	максимальні	середні	сума за етапами	сумарні
IV	Грабівське вулканокупольне підняття	10	230,4	120,2	472,2	404,5
	Вершинна кальдера	10	293,3	151,6	517	475,5
III	Грабівське вулканокупольне підняття	-67	200,2	66,6		
	Вершинна кальдера	-37	200,2	81,6		
II	Грабівське вулканокупольне підняття	-39,6	200,5	80,4		
	Вершинна кальдера	8,5	248,5	128,5		
I	Грабівське вулканокупольне підняття	55	355	205		
	Вершинна кальдера	5,6	305	155,3		

З настанням II етапу спостерігалося загальне сповільнення темпів вертикальних рухів (рис. 2). Між Грабівським інтузивно-купольним підняттям і вершинною кальдерою вулкана на цьому етапі фіксувалися відмінності у значеннях амплітуд новітніх рухів. Так, якщо протягом минулого етапу Грабівська структура характеризувалася максимальними амплітудами підняттів, то на цьому етапі зафіксовано різке їхнє сповільнення до 8,5–56,4 м. На східному обрамленні структури амплітуди зростали до 200,5 м. Причиною різкого сповільнення вертикальних рухів могла бути наявність інтузивного тіла. У місці перетину Грабівського вулканокупольного підняття, передбачуваного продовження зони Пеннінських скель і розлуки меридіонального простягання значення амплітуд рухів опускалися до -39,6 м. Тут також наявний центр виверження з масивним інтузивом, північно-західніше якого залягає сліпе інтузивне тіло [9]. На

цьому етапі вершинна кальдера вулкана характеризувалася вищими значеннями амплітуд вертикальних рухів, що сягали 152,6–200,5 м. Область характерних значень оконтурювалася синвулканічними розломами. Локальні максимуми амплітуд (200,6–248,5 м) просторово співвідносяться з центрами виверження. У центральній частині кальдери амплітуди вертикальних рухів знижувалися до 8,5–56,4 м. Тут наявний центр виверження, який на цьому етапі зазнав часткового руйнування. Протягом II етапу максимального руйнування зазнала також центральна частина вулкана. Зазначені процеси підтверджуються підвищеними сумарними значеннями локального розміву гірських порід і зниженими амплітудами коливання базисів ерозії. Таким чином, протягом II етапу Грабівське вулканокупольне підняття зазнало висхідних рухів із середньою амплітудою 80,4 м, вершинна кальдера вулкана – 128,5 м (табл. 1).

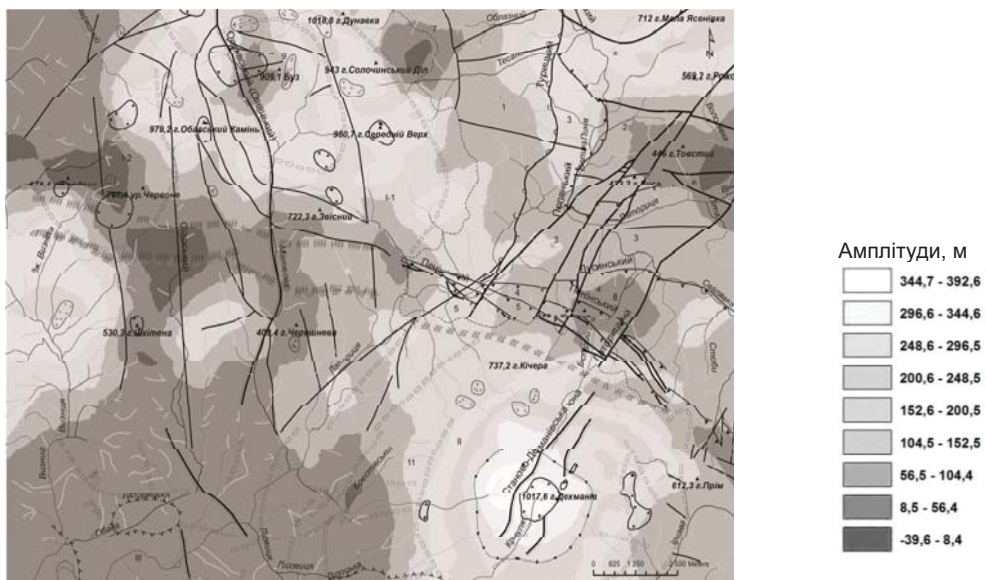


Рис. 2. Розподіл амплітуд новітніх рухів протягом II етапу (див. умовні позначки на рис. 1)

Протягом III етапу амплітуди за знаком були близькі до тих, що спостерігалися за весь II етап, але характеризувалися певною диференціацією за площею (рис. 3). У межах східної частини вершинної кальдери зафіксовано вертикальні рухи, амплітуди яких у середньому дещо знизилися порівняно з II етапом і змінювалися від 22,4 до 111,2 м. Поблизу г. Дунавка значення амплітуд становили 200,2 м. Навпаки, у західній частині вершинної кальдери фіксувалося зростання амплітуд рухів порівняно з попереднім етапом до 171–200,2 м. Максимуми просторово тяжіли до центрів виверження (г. Обавський Камінь). Також область максимальних амплітуд вертикальних рухів збігається з простяганням Оленівського розлуки та зоною перетину останнього із системою субширотних розломів (широта г. Звісний). На цьому етапі відбулося руйнування центру виверження у верхів'ї правої

притоки р. Матекова та центральної частини кальдери вулкана в долині р. Матекова. Це фіксується за максимумами сумарних значень розмитих гірських порід і зниженими амплітудами коливання базисів еrozії. Очевидно, III етап характеризує розподіл неотектонічних вертикальних рухів після останньої фази вулканізму. Пізніше схили вулкана явили собою область розмиву та занесення продуктів руйнування до підніжжя або до локальних понижень. Одним із давніх осередків акумуляції є підніжжя г. Буз, складене пролювіально-делювіальними відкладами (N2-Q1), що представлені глинами, суглинками з валунами ефузивних порід [9]. Загалом, протягом III етапу в межах Грабівського вулканокупольного підняття середні амплітуди вертикальних рухів становили близько 66,6 м, а вершинна кальдера вулкана зазнала підняттів з амплітудою 81,6 м (табл. 1).

Протягом останнього (IV) етапу фіксувалося незначне зростання амплітуд вертикальних неотектонічних рухів, що особливо спостерігалося в межах вершинної кальдери вулкана (рис. 4). Тут амплітуди піднятті становили 104,5–167,4 м, але місцями сягали 293,3 м. Зокрема, локальний осередок аномально високих амплітуд (262–293,3 м) фіксувався на півночі центральної частини вершинної кальдери (г. Буз). У межах Грабівської

структурні та західної частини вершинної кальдери амплітуди вертикальних рухів були дещо нижчими, 10–136 м і локально зростали до 230,4 м. Загалом, протягом IV етапу в межах Грабівського вулканокупольного підняття амплітуди неотектонічних вертикальних рухів становили 120,2 м, а вершинної кальдери вулкана – 151,6 м (табл. 1).

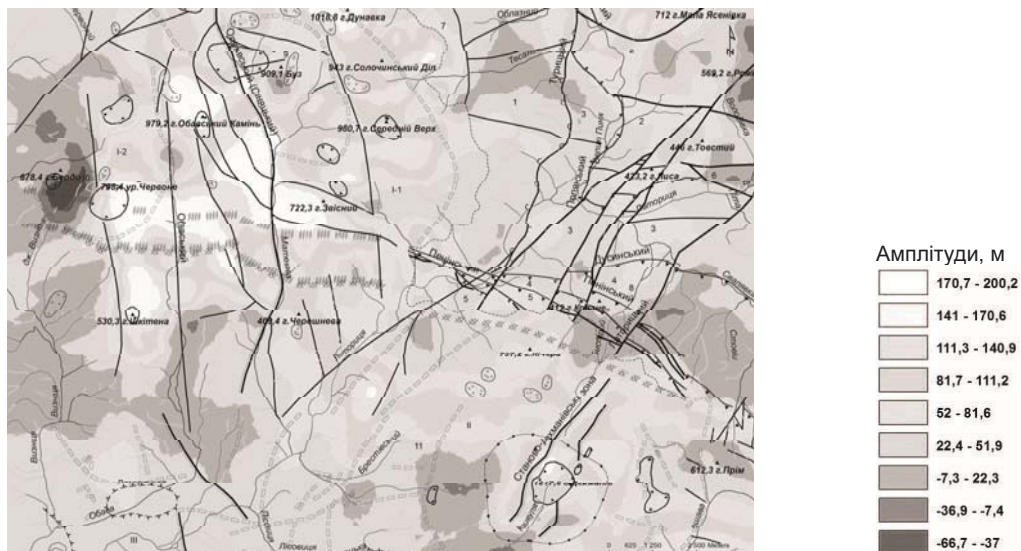


Рис. 3. Розподіл амплітуд новітніх рухів протягом III етапу (див. умовні позначки на рис. 1)



Рис. 4. Розподіл амплітуд новітніх рухів протягом IV етапу (див. умовні позначки на рис. 1)

Визначено, що сумарні значення амплітуд вертикальних рухів протягом чотирьох етапів у межах Грабівської структури становили 404,5 м, а сума середніх значень амплітуд за етапами – 472,2 м, відповідно, вершинна кальдера вулкана зазнала сумарних підняттів з амплітудою 475,5 м, а сума середніх амплітуд за етапами становить 517 м (табл. 1).

З аналізу просторово-часових характеристик амплітуд вертикальних тектонічних рухів та їхньої зміни протягом етапів виявлено локальні структури: 1) ділянка в центральній частині вершинної кальдери вулкана Синяк (г. Буз), що приурочена до маркувальних пластів щільних туфобрекій і лав синяцького магматичного комплексу (N2sn). Висока диференціація амплітуд вертикальних рухів тут фіксувалася протягом III та IV етапів. У III етапі амплітуди коливалися в межах –37–52 м

(рис. 3), протягом IV етапу – стрімке зростання до 167,5–293,3 м (рис. 4); 2) ділянка в межах Грабівського вулкано-купольного підняття (між г. Бердо та ур. Червоне). Протягом II етапу амплітуди тут опускалися до –39,6 м (рис. 2), III етапу – амплітуди рухів знишились до –67 м зі зміщенням області характерних значень на захід (рис. 3).

**Висновки.** У результататі комплексного аналізу наявних геолого-геофізичних даних і структурно-морфометричних показників визначено числові характеристики неотектонічних вертикальних рухів і простижено їхні просторові й часові особливості в межах вулкана Синяк протягом чотирьох поступуванічних етапів. Установлено відмінності в тектонічному розвитку окремих частин вулкана – Грабівського вулканокупольного підняття та вершинної кальдери. Зафіксована

но процес руйнування вершинної кальдери вулкана. Виявлено високу просторову диференціацію амплітуд вертикальних рухів, їхній блоковий характер. Виділено дві локальні структури, що характеризуються високими значеннями амплітуд вертикальних рухів і диференційованим характером між етапами. Зокрема, до таких структур належать ділянка в центральній частині вершинної кальдери вулкана (г. Буз) та ділянка в межах Грабівського вулкано-купольного підняття (між г. Бердо та ур. Червоне).

#### Список використаних джерел

1. Круглов С. С. Геодинаміка Карпат / С. С. Круглов, С. Е. Смирнов, С. М. Спітковська і др. – К. : Наук. думка, 1985. – 136 с.
- Kruglov S.S., Smirnov S.E., Spitkovskaya S.M. et al., (1985). Geodynamics of the Carpathians [Geodynamika Karpat]. Kyiv, 136 p. (In Russian)
2. Ляшкевич З. М. Кайнозойский вулканізм Українських Карпат і его значение для геодинамических реконструкций / З. М Ляшкевич // Геофиз. журн. – 2004. – № 26. – С. 87–95.
- Lyashkevych Z.M., (2004). The Cainozoic volcanism of the Ukrainian Carpathians and its value for geodynamic reconstructions [Kainozoischiy vulkanizm Ukrainskih Karpat i ego znachenie dla geodinamicheskikh rekonstruktsiy]. Geofizicheskiy zhurnal – Geophysical journal, 26, 87-95. (In Russian)
3. Максимчук В. Ю. Дослідження сучасної геодинаміки Українських Карпат / В. Ю. Максимчук, В. Г. Кузнецова, Т. З. Вербицький та ін. – К. : Наук. думка, 2005. – 256 с.
- Maksymchuk V. Yu., Kuznetsova V.G., Verbytskyy T. Z. et al., (2005). Recent geodynamics research of the Ukrainian Carpathians [Doslidzhennya suchasnoyi geodynamiki Ukrayinskyh Karpat]. Kyiv, 256 p. (In Ukrainian)
4. Малеев Е. Ф. Неогеновий вулканізм Закарпаття / Е. Ф. Малеев. – М. : Наука, 1964. – 252 с.
- Maleev E.F. (1964). The Neogene volcanism of Zakarpattyia [Neogenovyy vulkanizm Zakarpattyia]. Moscow, 252 p. (In Russian)
5. Мацьків Б. В. Державна геологічна карта України масштабу 1:200 000, арк. М-34-XXIX (Сніна), М-34-XXXV (Ужгород), L-34-V (Сату-Маре) / Б. В. Мацьків, І. О. Ковалев, Б. Д. Пукач, В. М. Воробканич. – К., 2003. – 96 с.
- Matskiv B.V., Kovalov Y.V., Pukach B.D., Vorobkanych V.M., (2003). State geological map of Ukraine, 1:200 000 scale, M-34-XXIX (Snina), M-34-XXXV (Uzhgorod), L-34-V (Satu Mare) sheets [Derzhavna geologichna karta mashtabu 1:200 000, erkushi M-34-XXIX (Snina), M-34-XXXV (Uzhgorod), L-34-V (Satu Mare)]. Kyiv, 96 p. (In Ukrainian)
6. Палієнко В. П. Сучасна динаміка рельєфу України / В. П. Палієнко, А. В. Матощ, М. Є. Барщевський та ін. – К. : Наук. думка, 2005. – 268 с.
- Palienko V.P., Matosh M.E., Barshevskyy M.E. et al., (2005). Recent relief dynamics of Ukraine [Suchasna dynamika relifu Ukrayiny]. Kyiv, 268 p. (In Ukrainian)
7. Радзивилл А. Я. Тектоно-магматические структуры неояэра (Региональная геотектоника Украины) / А. Я. Радзивилл, В. Я. Радзивил, В. С. Токовенко. – К., 1986. – 160 с.
- Radzivill A.Y., Radzivil V.Y., Tokovenko V.S., (1986). The Neogene tectonic-magmatic structures (Regional geotectonics of Ukraine) [Tektono-magmaticheskie struktury neogeja (Regionalnaya geotektonika Ukrayiny)]. Kyiv, 160 p. (In Russian)
8. Соболев В. С. Петроография неогеновых вулканических и гипабиссальных пород Советских Карпат / В. С. Соболев, В. П. Костюк, А. П. Бобрович и др. – К. : Изд-во АН УССР, 1955. – 248 с.
- Sobolev V.S., Kostyuk V.P., Bobrovich A.P. et al., (1995). The Neogene volcanic and hypabyssal rocks petrography of Soviet Carpathians [Petrografia neogenovyh vulkanicheskikh i gipabissalnyh porod Sovetskikh Karpat]. Kyiv, 248 p. (In Russian)
9. Тарасенко В. И. Отчет по геологическому доизучению площади листов М-34-118-Г и М-34-130-Б (Свальява) в масштабе 1:50000 за 1978–1982 гг. : в 6 т. / В. И. Тарасенко, А. А. Пудгородский, В. Ю. Щербанюк и др. – Берегово, 1982.
- Tarasenko V.I., Pudgorodskyi A.A., Scherbanyak V.Yu. et al., (1982). Geological structure research of M-34-118-G, M-34-130-B sheets (Svalyava) (1:50000 scale) report for the years 1978-1982 in 6 vol. [Otchet po doizucheniyu geologicheskogo stroeniya ploschadi listov M-34-118-G, M-34-130-B (Svalyava) v masshtabe 1:50000 za 1978-1982 goda: v 6 t.]. Beregovo. (In Russian)
10. Філософов В. П. Основы морфометрического метода поисков тектонических структур / В. П. Філософов. – Саратов, 1975. – 232 с.
- Filosofov V.P., (1975). The morphometric method rudiments of tectonic structures search [Osnovy morfometricheskogo metoda poiskov tektonicheskikh struktur]. Saratov, 232 p. (In Russian)

Надійшла до редколегії 17.10.14

#### T. Andriiets, Postgraduate Student

Institute of Geology, Taras Shevchenko National University of Kyiv  
90 Vasylykska Str., Kyiv, 03022 Ukraine  
E-mail: tanya4la@gmail.com

#### TECTONIC EVOLUTION OF MOUNT SYNIAK (THE VYHORLAT-HUTYN VOLCANIC CHAIN) IN POSTMAGMATIC STAGES: A RECONSTRUCTION BASED ON STRUCTURAL MORPHOMETRY

*Active magmatism gave rise to the Vyhorlat-Hutyn volcanic mountain chain, which had formed by the late Pliocene and is a recent indication of endogenous processes in the Ukrainian Carpathians. Mount Syniak – a stratovolcano in the NW part of the chain – has preserved its original shape, heterochronous igneous complexes and is well-marked among the landforms. However, little evidence has been collected concerning the presence of volcanic calderas, spatial and temporal distribution of neotectonic movement amplitude in the postvolcanic stages, and the tectonic activity level. These complex issues can only be clarified by analyzing a sufficient bank of geological, geophysical and geomorphological data. The goal of this research is to reconstruct the postmagmatic tectonic processes based on relief analysis. B. Filosofov's structural morphometry technique has been employed to determine the main relief indices. A complex analysis of geological, geophysical data and structural-morphometric indices yielded numerical parameters of the neotectonic vertical movements and their spatial-temporal patterns for Mount Syniak in the four postmagmatic stages. Differences in the tectonics of Grabowsk volcanic dome and the summit caldera have been determined. The summit caldera has been proved to show indications of destruction. There have been identified two local structures with high values of vertical movement amplitude: the central part of the volcano's summit caldera (m. Buz) and a section within the Grabowsk volcanic dome (between m. Berdo and h. Chervone).*

**Keywords:** structural morphometry, neotectonic movements, GIS, relief, morphogenesis.

#### Т. Андрієць, асп.

Київський національний університет імені Тараса Шевченка, УНІ "Інститут геології"  
ул. Васильківська, 90, г. Київ, 03022, Україна  
E-mail: tanya4la@gmail.com

#### РЕКОНСТРУКЦІЯ ТЕКТОНИЧЕСКОЇ ЕВОЛЮЦІИ ВУЛКАНА СИНЯК (ВЫГОРЛАТ-ГУТИНСКАЯ ВУЛКАНИЧЕСКАЯ ГРЯДА) В ПОСТМАГМАТИЧЕСКИЕ ЭТАПЫ ПО ДАННЫМ СТРУКТУРНО-МОРФОМЕТРИЧЕСКОГО АНАЛИЗА

*В Українських Карпатах одним із результатів дії ендогенних процесів являється Вигорлат-Гутинська вулканіческа грядка, формуванням якої завершилось в кінці плюоцену як наслідок активної магматичної діяльності. Среди вулканіческих структур в східно-західній часті гряди виділяється стратовулкан Синяк, який характеризується збереженістю первинних вулканіческих форм, наличем розвновозрастних магматических комплексів і хорошо виражен в рельєфі. Тем не менше, до сих пор не до конца виясненими остаються питання про наявність кальдер в структурі вулкана, визначення характера пространственного і временного розподілення амплітуд неотектоніческих рухів в поствулканіческі етапи і рівня тектоніческої активності. Успішне розв'язання цих найбільш складних питань можливе завдяки аналізу комплекса геологіческих, геофізических і геоморфологіческих даних. Целью дослідження є встановлення постмагматических тектоніческих процесів на основі аналізу рельєфа. Для досягнення цієї мети використовувалася методика структурної морфометрії В. Філософова з визначенням головних морфометрических показників рельєфа території. В результаті комплексного аналізу геологіческих, геофізических і структурно-морфометрических показників встановлені числові характеристики неотектоніческих вертикаліческих рухів, їх пространственно-временні особливості в межах вулкана Синяк впродовж чотирьох поствулканіческих етапів. Установлені відмінності в тектоніческому розвитку окремих частей вулкана – Грабовського вулкано-купольного підняття і вершинної кальдери. Зафіксован процес розрушення вершинної кальдери вулкана. Виявлені дві локальні структури, які характеризуються високими значеннями амплітуд вертикаліческих рухів і їх дифференційованим характером: структура в центральній часті вершинної кальдери вулкана (г. Буз) і участок в межах Грабовського вулкано-купольного підняття (між г. Бердо і ур. Червоне).*

**Ключові слова:** структурна морфометрія, новіші рухи, ГІС, рельєф, морфогенез.